УДК 547.1;546.62;546.83

СИНТЕЗ, СВОЙСТВА И ПИРОЛИЗ ОРГАНОАЛЮМОКСАНОВ, МОДИФИЦИРОВАННЫХ ТУГОПЛАВКИМИ МЕТАЛЛАМИ

© 2023 г. Г. И. Щербакова^{1,*}, А. С. Похоренко¹, Н. С. Кривцова¹, М. С. Варфоломеев², Т. Л. Апухтина¹, А. И. Драчев¹, А. А. Ашмарин³, П. А. Стороженко¹

Поступило в редакцию 10 октября 2023 г. После доработки 20 октября 2023 г. Принято к печати 20 октября 2023 г.

Синтезированы органоалюмоксановые олигомеры, модифицированные тугоплавкими металлами: цирконием, гафнием или хромом. Изучены их физико-химические и волокнообразующие свойства. Предложены модели группового и элементного состава олигомерных молекул органоалюмоксанов, содержащих цирконий, гафний или хром. По результатам рентгеновского элементного микроанализа (СЭМ) и РФА установлено, что пиролиз металлсодержащих органоалюмоксанов при 1500°С в атмосфере воздуха приводит к образованию микрокристаллических керамических порошков корундового состава, модифицированных оксидами тугоплавких металлов.

Ключевые слова: органоалюмоксаны, ацетилацетонаты циркония, гафния и хрома, керамообразующие и волокнообразующие металлсодержащие органоалюмоксаны, микрокристаллические керамические порошки

DOI: 10.31857/S0044460X23110148, **EDN:** PCXQTX

Год от года возрастает потребность в высокоэффективных керамоматричных композиционных материалах, основными компонентами которых являются матрицы, армирующие волокна или порошки, межфазные и барьерные покрытия [1,2].

Оксидные керамические волокна в качестве армирующих материалов для керамоматричных композиционных материалов представляют огромный интерес для высокотехнологичных отраслей промышленности, таких как аэрокосмическая и энергетическая, из-за их отличной стойкости в окислительных и в агрессивных средах [2, 3].

Синтезированные в Государственном научно-исследовательском институте химии и тех-

нологии элементоорганических соединений хелатированные алкоксигидроксиалюмоксановые олигомеры [3, 4], в частности этилацетоацетаталкоксигидроксиалюмоксаны, являются предшественниками высокочистых компонентов (связующие для матриц, пленкообразующие растворы для покрытий, порошки в качестве наполнителей) для получения керамокомпозитов алюмооксидного состава [4–7].

Известно, что оксид хрома Cr_2O_3 является эффективной спекающей добавкой для повышения плотности керамики α - Al_2O_3 , а также значительно увеличивает тугоплавкость, химическую стабильность, ударную вязкость, механические свойства [8] и препятствует росту зерна [9–11].

¹ Государственный научно-исследовательский институт химии и технологии элементоорганических соединений, ии. Энтузиастов 38, Москва, 105118 Россия

² Московский авиационный институт (национальный исследовательский университет), Москва, 125080 Россия ³ Институт металлургии и материаловедения имени А. А. Байкова, Москва, 119334 Россия *e-mail: galina7479@mail.ru

В последние годы значительное внимание уделяется разработкам, направленным на создание твердотельных лазеров. Были предприняты попытки замены монокристаллов прозрачной поликристаллической керамикой. Поликристаллическая керамика из оксида алюминия обеспечивает пониженную стоимость и более высокую вариативность форм и размеров, чем у монокристаллов, при этом обладает превосходным качеством, улучшенными механическими и оптическими характеристиками, сравнимыми с монокристаллом [9, 12]. Методом шликерного литья и последующим высокотемпературным спеканием была получена непористая и полностью плотная прозрачная керамика из суспензии, содержащей мелкодисперсный оксид алюминия и нано-Сг₂О₃ [9], а также прозрачная керамика из смеси коммерческих порошков Al₂O₃ и Cr₂O₃ [12].

Допирование бемита (γ -AlOOH) 3d-элементами, в частности Cr^{3+} , приводит к появлению у материала поглощения в видимой области, что позволяет использовать его как пигмент [13].

Композитные нановолокна Cr_2O_3/Al_2O_3 диаметром 50–300 нм были изготовлены обжигом электроформованных нановолокон на основе PVA/ $Cr(NO_3)_3/Al(NO_3)_3$ [14]. Нановолокна получали по золь-гель технологии с последующим электропрядением. Малые диаметры волокна и пористая структура электроформованных волокон приводят к высокой удельной площади поверхности, что выгодно в различных областях применения: электрооптические устройства, высокочувствительные датчики, высокоактивные катализаторы в реакциях дегидрирования, полимеризации олефинов, реакций дегидроциклизации, окислительно-восстановительных реакций и окисления CO [14].

Волокна из поликристаллического оксида алюминия, упрочненного диоксидом циркония (ZTA), были приготовлены из водных растворов $Al_2(OH)_5Cl\cdot 2.5H_2O$ и $ZrOCl_2\cdot 8H_2O$. Волокна получали методом сухого прядения. Поливинилпирролидон использовали в качестве вспомогательного средства для прядения. Поликристаллические волокна ZTA были получены прокаливанием полимерных волокон с последующим спеканием на воздухе при определенных температурах. Керамические волокна имели диаметр 10 мкм и среднюю прочность на разрыв 1010 (±363) МПа [15].

Волокно Nextel 650 представляет собой непрерывное волокно, изготовленное по технологии золь-гель. Волокно имеет средний диаметр \sim 11 мкм и состоит из α -Al₂O₃ и 10% ZrO₂, стабилизированного 1% Y₂O₃. Цирконий был добавлен для увеличения прочности на разрыв и ограничения роста зерен оксида алюминия. Волокно Nextel 650 обладает высокой стойкостью к термическому удару, устойчивостью к нехрупкому разрушению и хорошей прочностью до 1200°C [16].

Введение в алюмооксидную матрицу тетрагонального твердого раствора диоксида циркония $(t\text{-}ZrO_2)$ способствует повышению термостабильности и трещиностойкости керамических композиций, одновременно $t\text{-}ZrO_2$ выступает и как ингибитор роста кристаллитов фаз оксида алюминия, что дает возможность получать керамику с достаточно высокой плотностью [17].

Композитная керамика Al_2O_3 – ZrO_2 является важным конструкционным и функциональным материалом, поэтому приготовление высококачественного порошка Al_2O_3 – ZrO_2 является ключевым шагом к удовлетворению требований практического применения [18-20].

Проведено исследование по изучению влияния различных кристаллических структур ZrO_2 на композиты Al_2O_3 – ZrO_2 , в частности, на кинетику микроволнового спекания. Установлено, что при добавлении t- ZrO_2 композит Al_2O_3 – ZrO_2 обладает повышенной трещиностойкостью [19].

Эвтектическую фазу Al_2O_3 – ZrO_2 (6.0%) использовали в качестве связующих для жидкофазного спекания карбидов вольфрама. Твердость композита WC– Al_2O_3 – ZrO_2 снижалась, а вязкость разрушения при вдавливании увеличивалась. Композиты WC– Al_2O_3 – ZrO_2 обладают максимальной ударной вязкостью ~10.5 МПа·м^{1/2} и значением твердости 22.29 ГПа [20].

Диоксид гафния обладает более высокой химической стабильностью, чем ZrO_2 . Это позволяет использовать материалы на основе гафния при низком парциальном давлении кислорода и более высоком вакууме по сравнению с материалами на основе диоксида циркония. Коэффициент теплового расширения HfO_2 ниже, чем у ZrO_2 , поэтому HfO_2 можно использовать для разработки материалов, более устойчивых к тепловым ударам, на-

Схема 1.

$$\{Al(OC_2H_5)_a[OC(CH_3)=CHC(O)OC_2H_5]_x(OH)_cO_q\}_m + k(acac)_4Zr[(acac)_4Hf]$$

$$(a-p)C_2H_5OH \qquad \{(acac)_3Zr[Hf]O\}_k \{Al(OC_2H_5)_p(acac)_s[OC(CH_3)=CHC(O)OC_2H_5]_x(OH)_zO_y]_m,$$

$$m = 4-5, k = 0.02-0.50, a + x + c + 2q = 3, k/m + p + s + x + z + 2y = 3.$$

$$\mathbf{Cxema~2.}$$

$$\{Al(OC_2H_5)_a[OC(CH_3)=CHC(O)OC_2H_5]_x(OH)_cO_q\}_m + k(acac)_3Cr$$

$$(Cr_k)(Al_m)\{(OC_2H_5)_t(acac)_s[OC(CH_3)=CHC(O)OC_2H_5]_x(OH)_zO_y\}_{m+k} + (a-t)C_2H_5OH,$$

$$m = 4-5, k = 0.02-0.10, a + x + c + 2q = 3, l + s + x + z + 2y = 3.$$

пример нагревательные элементы, тигли для выпаривания активных металлов [21].

Нами синтезированы олигомерные органоалюмоксаны, модифицированные тугоплавкими металлами: цирконием, гафнием или хромом, которые обладают керамообразующими свойствами и могут быть использованы в качестве предшественников для получения компонентов (связующие, пропиточные композиции, волокна, порошки) высокотермостойких керамокомпозитов бинарного состава: корунда (α -Al₂O₃) и оксида циркония или гафния (ZrO_2 , HfO₂), либо хромсодержащего корунда α -Al_xCr_(1-x)O₃.

Органоалюмоксаны, модифицированные тугоплавкими металлами (Zr, Hf, или Cr) получали взаимодействием хелатированных этоксиалюмоксанов [4, 22] с ацетилацетонатами: $(acac)_4$ Zr, $(acac)_4$ Hf или $(acac)_3$ Cr в среде органического растворителя (этиловый спирт или толуол) с последующей отгонкой растворителя сначала при атмосферном давлении, а затем при пониженном давлении и температуре до 170°C по схемам 1, 2.

Мы полагаем, что реакция хелатированных этоксиалюмоксанов [4, 22] с ацетилацетонатами циркония и гафния идет по гидроксильным группам с образованием связей Zr—O—Al (Hf—O—Al), при этом выделяется ацетилацетон, который, обладает кислотными свойствами и при 65—80°C (температура реакционной массы) реагирует с C_2H_5O -группами хелатированных этоксиалю-

моксанов с образованием этилового спирта, что подтверждается отсутствием в спектрах ЯМР ¹³С отгона, полученного после синтеза органоцирконий(гафний)оксаналюмоксанов в толуоле, сигналов ¹³С, характерных для функциональных групп ацетилацетона, а наблюдаются сигналы ¹³С этилового спирта: углерода метильной группы при 18.5 м. д. и углерода метиленовой групп при 57.9 м. д.

Ранее было показано, что характерной чертой молекулярной структуры органоэлементоксаналюмоксанов [5, 23] является то, что они состоят из олигомерных фрагментов исходных органоалюмоксанов [4, 22] и органоэлементоксаналюмоксанов [5, 23].

Методом молекулярной механики (ММ) [24] осуществляли визуализацию вероятных молекулярных структур олигомерных фрагментов этилацетоацетатэтоксигидроксиалюмоксанов, модифицированных Zr (рис. 1a) (вероятно, для Hf аналогично) и модифицированных Cr (рис. 1б) [23].

Известно, что хром может заменять алюминий в (acac)₃Al с образованием $Al_{0.916}Cr_{0.084}(acac)_3$ [25]. Исходя из данного факта можно предположить, что хром встраивается в молекулярную структуру органоалюмоксанов, не нарушая их пространственную конфигурацию. Следовательно, вполне вероятно наличие хромсодержащих олигомерных фрагментов $C_{31}H_{49}O_{18}Al_4Cr$ (рис. 16) [23].

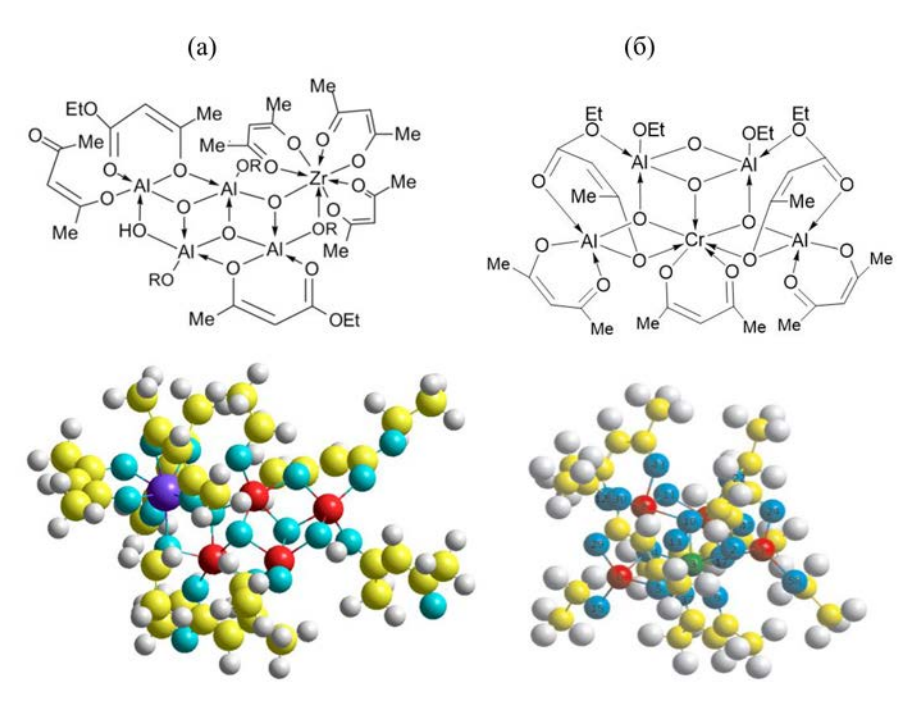


Рис. 1. Вероятная молекулярная структура олигомерных фрагментов металлсодержащих этилацетоацетатэтоксигидроксиалюмоксанов $C_{38}H_{62}O_{21}Al_4Zr$ (а) и $C_{31}H_{49}O_{18}Al_4Cr$ (б). Al – красный, O – бирюзовый, C – желтый, H – серый, Zr – фиолетовый, Cr – зеленый.

Органометаллоксаналюмоксаны, в зависимости от вводимого металла и мольного отношения Al:M (M=Zr, Hf) представляют собой стеклообразные вещества от желтого до оранжевого цвета, а при M=Cr от сиреневого до зеленого цвета, растворимые в органических растворителях, реагирующие с кислотами и щелочами.

Данные элементного анализа для модифицированных тугоплавкими металлами (Zr, Hf или Cr) этилацетоацетатэтоксигидроксиалюмоксанов приведены в табл. 1. Они достаточно хорошо совпадают с вычисленными значениями по элементному составу для рассчитанных эмпирических формул (табл. 1).

ИК спектры органометаллоксаналюмоксанов схожи с ИК спектрами исходных олигомерных этилацетоацетатэтоксигидроксиалюмоксанов, ацетилацетонатов циркония, гафния и хрома (рис. S1, см. Дополнительные материалы). Но, необходимо отметить, что в ИК спектрах синтезированных органометаллоксаналюмоксанов (рис. S2, см. Дополнительные материалы) наблюдаются новые полосы поглощения: 508, 606 и 644; 517,

593 и 646; 528, 548 и 616 см $^{-1}$, которые можно отнести к колебаниям связей M-O, Al-O (возможно, M-O-Al) в органометаллоксаналюмоксанах.

СЭМ-Изображение, данные рентгеновского элементного микроанализа и внешний вид органометаллоксаналюмоксанов представлены на рис. 2. Типичные термограммы для органометаллоксаналюмоксанов представлены на рис. S3 (см. Дополнительные материалы). Для всех олигомеров кривая ТГА показывает, что при нагревании до 70-90°С олигомеры начинают терять массу (менее 1%). На термограммах (кривая ТГА) наблюдается двухступенчатое уменьшение массы (общая убыль массы ~ 65%), причем основная потеря массы происходит в интервале температур с 200°C до 500°C (керамический остаток составляет ~35%), далее керамический остаток изменяется мало и при 1100°C составляет для органоалюмоксанов, модифицированных: цирконием – 35.21% (табл. 1, образец 1, рис. S3a), гафнием – 36.51% (табл. 1, образец 3, рис. S3б), хромом – 33.71% (табл. 1, образец 4a, рис. S3в), что соответствует суммарному содержанию оксида алюминия и оксида тугоплав-

Таблица 1. Результаты элементного и термогравиметрического анализов, модифицированных тугоплавкими металлами (Zr, Hf, Cr) органоалюмоксанов и эмпирические формулы основных олигомерных фрагментов

	Содержание, мас%	Вычисленная эмпирическая формула	Химический состав, мас%				С, мас% (ТГА)	
№			С	Н	Al	Zr, Hf, Cr	ОН	Al ₂ O ₃ +ZrO ₂ (HfO ₂ или Cr ₂ O ₃)
1		Органоалюмоксан, модифицированный цирконием, $Al/Zr \approx 30$						
			38.10	6.28	17.14	3.40	6.70	35.21
	15	$C_{20}H_{40}O_{14}Al_4$	39.22	6.54	17.65	_	5.56	33.34
	10	$C_{16}H_{32}O_{14}Al_4$	34.53	5.76	19.42	_	12.23	36.68
	55	$C_{22}H_{45}O_{16}Al_5$	37.71	6.43	19.29	_	4.86	36.44
	20	$C_{38}H_{62}O_{21}Al_4Zr$	43.30	5.89	10.26	8.64	1.61	35.41
	100	Усредненное значение Al/Zr = 33.54	38.73	6.27	17.25	1.73	5.05	34.92
2		Органоалюмоксан, модифицированный цирконием, $AI/Zr \approx 10$						
			39.67	6.25	14.19	3.59	4.20	31.05
	25	$C_{16}H_{32}O_{14}Al_4$	34.53	5.76	19.42	_	12.23	36.68
	20	$C_{22}H_{45}O_{16}Al_5$	37.71	6.43	19.29	_	4.86	36.44
	55	$C_{38}H_{62}O_{21}Al_4Zr$	43.30	5.89	10.26	8.64	1.61	35.41
	100	Усредненное значение Al/Zr = 10.18	39.99	5.97	14.60		4.92	33.54
3		Органоалюмоксан, модифицированный гафнием, $Al/Hf \approx 10$						1
			40.09	6.70	14.15	8.60	2.00	36.51
	20	$C_{20}H_{40}O_{14}Al_4$	39.22	6.54	17.65	_	5.56	33.34
	30	$C_{24}H_{47}O_{15}Al_5$	40.56	6.62	19.01	_	0	35.91
	50	$C_{38}H_{62}O_{21}Al_4Hf$	39.96	5.43	9.47	15.69	1.49	36.35
	100	Усредненное значение Al/Hf = 11.77	39.99	6.01	13.97	1	1.86	35.61
4		Органоалюмоксан, модифицированный хромом, Al/Cr ≈ 100						I
4a		Синтез в толуоле	39.50	7.10	17.90	0.31	2.20	33.71
	39	$C_{20}H_{40}O_{14}Al_4$	39.22	6.54	17.65	_	5.56	33.34
	55	$C_{24}H_{47}O_{15}Al_5$	40.56	6.62	19.01	_	0	35.91
	6	$C_{31}H_{49}O_{18}Al_4Cr$	42.81	5.64	12.43	5.98	0	40.96
	100	Усредненное значение Al/Cr = 97.07	40.17	6.53	18.08	0.36	2.17	35.21
46		Синтез в спирте	38.69	6.50	19.80	0.37	6.62	34.10
	9	$C_{20}H_{40}O_{14}Al_4$	39.22	6.54	17.65	_	5.56	33.34
	20	$C_{16}H_{32}O_{14}Al_4$	34.53	5.76	19.42	_	12.23	36.68
	65	$C_{22}H_{45}O_{16}Al_5$	37.71	6.43	19.29	_	4.86	36.44
	6	$C_{31}H_{49}O_{18}Al_4Cr$	42.81	5.64	12.43	5.98	0	40.96
	100	Усредненное значение Al/Cr = 100.68	37.52	6.26	18.76	0.36	6.11	36.48

Таблица 2. Характеристические температуры^а волокнообразующих органоалюмоксанов, модифицированных цирконием или гафнием

Олигомер	<i>T</i> ₁ , °C	T₂, °C	T ₃ , °C				
1	60–90	110–145	150				
2	Нево	Неволокнообразующий					
3	80–110	123–165	170				

а T_1 – температура размягчения, T_2 – температура волокнообразования, T_3 – температура каплепадения.

кого металла. Экспериментально, после пиролиза органометаллоксаналюмоксанов при 1500°С, выход керамического остатка составил соответственно для органоалюмоксанов, модифицированных: цирконием – 34.80%; гафнием – 34.86%; хромом – 32.42%.

Органоалюмоксаны, модифицированные Zr или Hf, в отличие от хромсодержащих органоалюмоксанов, могут обладать волокнообразующими свойствами (характеристические температу-

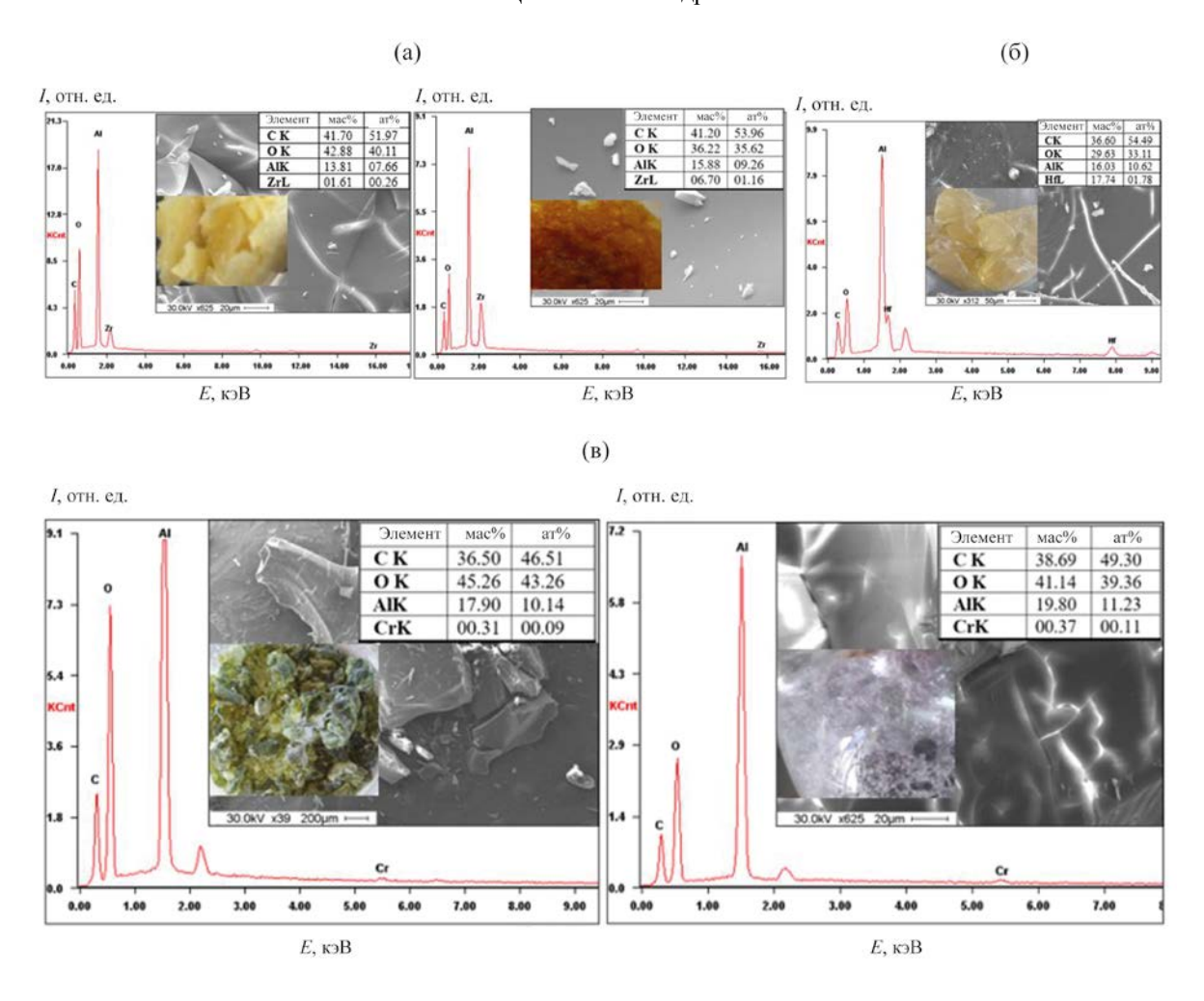


Рис. 2. СЭМ-Изображения, данные рентгеновского элементного микроанализа и внешний вид органоалюмоксанов, модифицированных Zr (a), Hf (б), Cr (в).

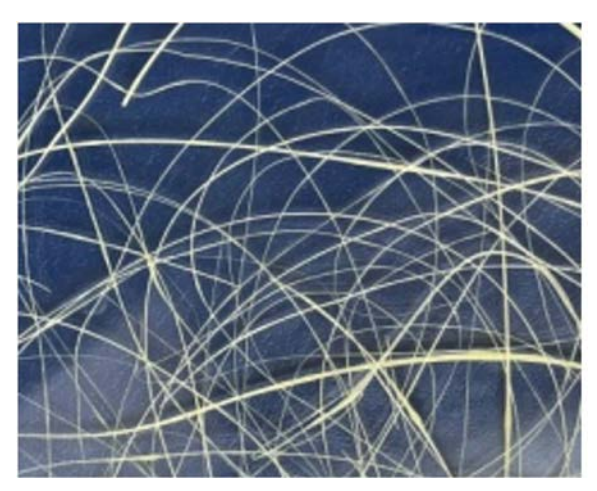


Рис. 3. Фото сформованных вручную полимерных волокон из органоалюмоксана, модифицированного гафнием (табл. 2, образец **3**).

ры приведены в табл. 2). На рис. 3 представлена фотография полимерных волокон, сформованных вручную из органоалюмоксана, модифицированного гафнием (табл. 1, образец 3).

Методами СЭМ (рис. 4, 5) и РФА (рис. 6) исследовали керамические порошки, полученные в результате пиролиза органометаллоксаналюмоксанов. Методом дифрактометрии показано, что пиролиз Zr- или Hf-содержащих органоалюмоксанов при 1500°С в атмосфере воздуха приводит к образованию микрокристаллических керамических порошков (1.0–7.5 мкм) корундового состава, модифицированных наночастицами (50–370 нм) оксидов циркония (рис. 4а, 6а) или гафния (рис. 4б, 6б).

ЖУРНАЛ ОБЩЕЙ ХИМИИ том 93 № 11 2023

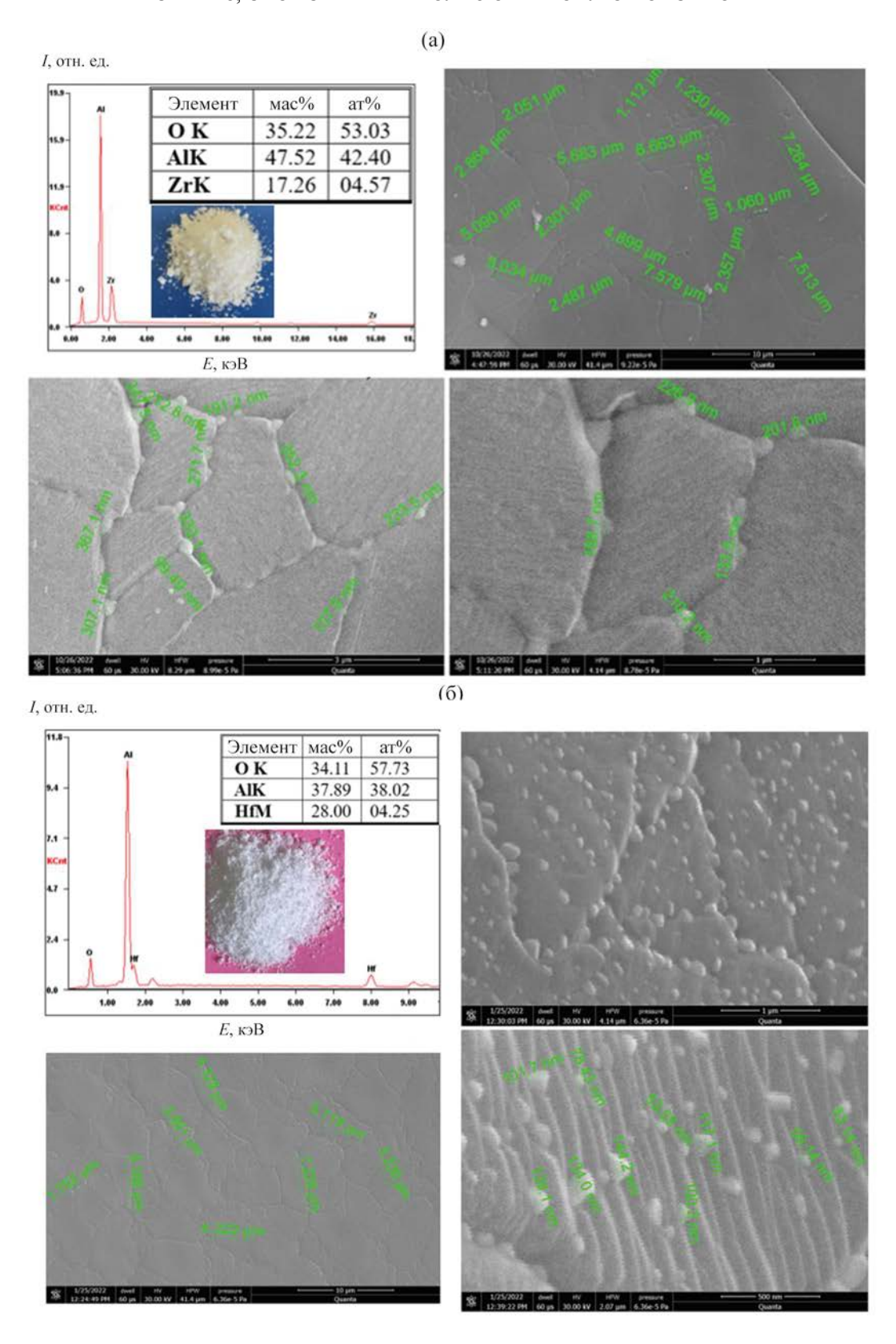


Рис. 4. СЭМ-Изображения, данные рентгеновского элементного микроанализа и внешний вид керамических порошков, полученных в результате пиролиза при 1500°C органоалюмоксанов, модифицированных Zr (a) и Hf (б).

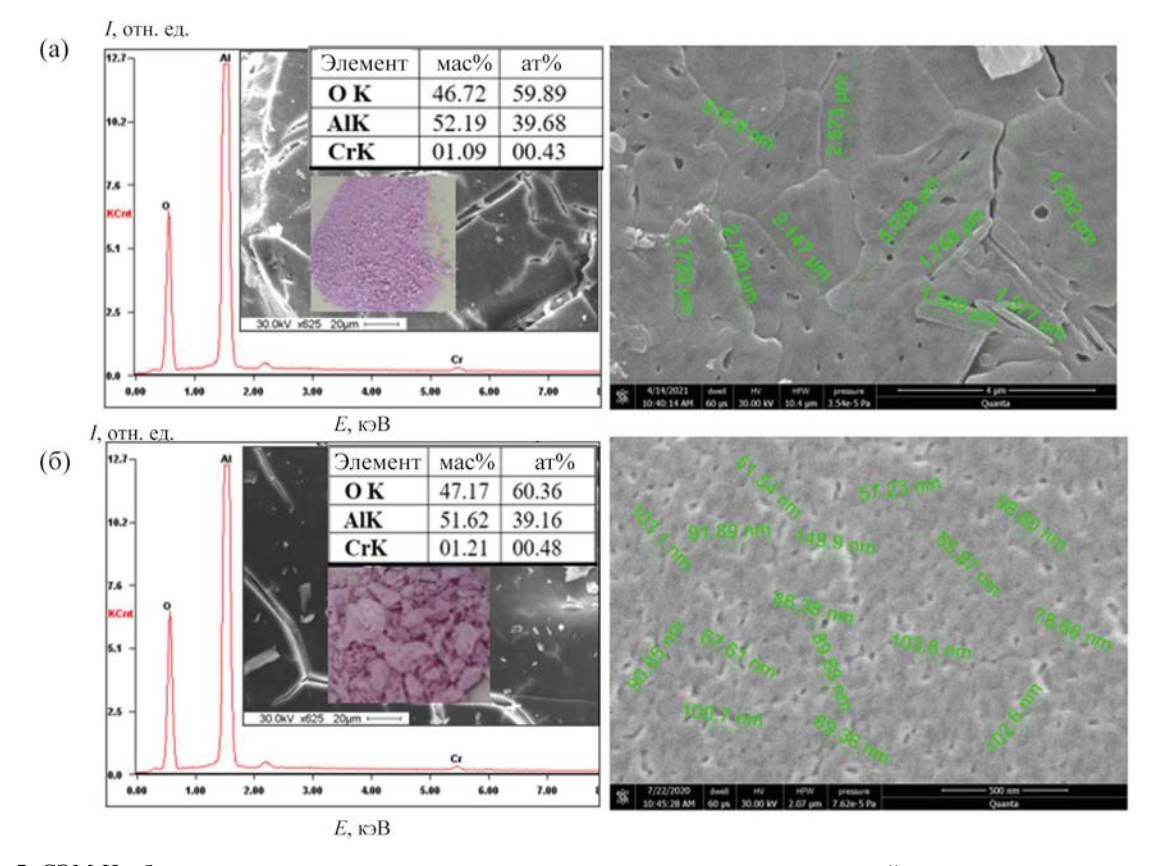


Рис. 5. СЭМ-Изображение, данные рентгеновского элементного микроанализа и внешний вид керамических порошков, полученных в результате пиролиза органоалюмоксанов, модифицированных хромом при 1500 (а) и 1300°C (б).

В составе керамического порошка, полученного в результате пиролиза органоцирконийоксаналюмоксана (табл. 1, образец 2) при 1500°C, найдено три кристаллические фазы (рис. 6а): основная фаза (81 мас%) – корунд α-Al₂O₃ с параметрами решетки а 4.755 Å, с 12.986 Å, (PDF-2 [74-1081]), вторая кристаллическая фаза (~17 мас%) – тетрагональный t-ZrO₂ (PDF-2 [79-1769]), третья кристаллическая фаза $(\sim 2 \text{ мас\%}) - \text{моноклинный m-ZrO}_2$ (PDF-2 [80-0966]). Следовательно, мольное отношение Al/Zr \approx 10 такое же как, в исходном олигомере (табл. 1, образец 2).

В составе керамического порошка, полученного в результате пиролиза органогафнийоксаналюмоксана (табл. 1, образец 3) при 1500°С, найдено две кристаллические фазы (рис. 6б): основная фаза (71 мас%) – корунд α -Al₂O₃ с параметрами решетки α 4.757 Å, α 13.007 Å, (PDF-2 [74-1081]), вто-

рая кристаллическая фаза (\sim 29 мас%) HfO₂ (PDF-2 [74-1506]). Следовательно, мольное отношение Al/Hf \approx 10 такое же, как в исходном олигомере (табл. 1, образец **3**).

Пиролиз хромсодержащих органоалюмоксанов проводили в атмосфере воздуха при 1300 и 1500°С. Показано, что в результате пиролиза при 1500°С образуется 100 мас% корунда α -Al₂O₃ с параметрами решетки a 4.759 Å, c 12.990 Å (PDF-2 [78-2427], рис. 6в).

Однако известно, что оксиды α -A1₂O₃ и α -Cr₂O₃ кристаллизуются в структуре корунда. Причем в каждом конкретном узле решетки может существовать A1³⁺ или Cr³⁺, а вероятность их нахождения зависит от степени замещения алюминия на хром [26]. Если рассматривать структуру в целом, то можно предположить, что каждая из них занята усредненным ионом, который имеет какие-то промежуточные свойства между A1³⁺ и Cr³⁺, именно

ЖУРНАЛ ОБЩЕЙ ХИМИИ том 93 № 11 2023

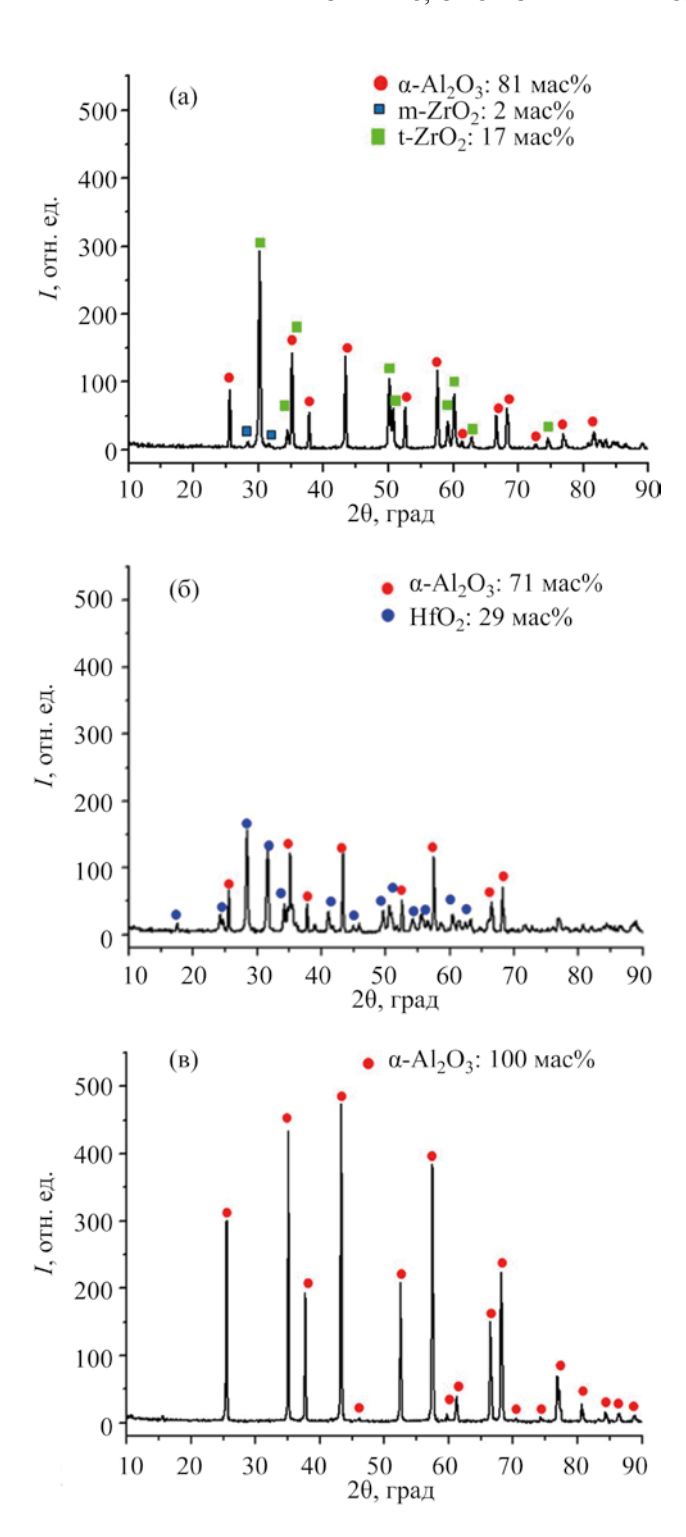


Рис. 6. Дифрактограммы образцов, полученных в результате пиролиза при 1500°C органоалюмоксанов, модифицированных (а) Zr (табл. 1, образец **2**), (б) Hf (табл. 1, образец **3**), (в) Cr (табл. 1, образец **4**).

поэтому на рис. 6в отсутствуют дифракционные максимумы, относящиеся отдельно к α -A1 $_2$ O $_3$ и α -Cr $_2$ O $_3$. Наличие хрома подтверждается результатами рентгеновского элементного микроанализа (рис. 5).

Следовательно, по данным РФА и СЭМ, в результате пиролиза хромсодержащих органоалюмоксанов при 1500°С образуется микрокристаллический хромсодержащий корунд (рис. 5а), а пиролиз при 1300°С приводит к образованию наноразмерных (50–150 нм) порошков корунда, модифицированного хромом (рис. 5б).

Таким образом, соконденсацией хелатированных этоксиалюмоксанов [4, 22] с ацетилацетонатами тугоплавких металлов (Zr, Hf, Cr) синтезированы керамообразующие органометаллоксаналюмоксаны. Исследованы физико-химические свойства и способность синтезированных олигомеров к волокнообразованию. Определены модели группового и элементного состава олигомерных молекул органоалюмоксанов, содержащих цирконий, гафний или хром. Установлено, что термохимическая трансформация металлсодержащих органоалюмоксанов при 1500°C в атмосфере воздуха приводит к образованию микрокристаллических керамических порошков корундового состава, модифицированных оксидами тугоплавких металлов.

ЭКСПЕРИМЕНТАЛЬНАЯ ЧАСТЬ

Взаимодействие этилацетоацетатэтоксигидроксиалюмоксана [4, 22] с ацетилацетонатом тугоплавкого металла {[CH₃(O)CCH=C(CH₃)O]₄M, где M = Zr, Нf или [CH₃(O)CCH=C(CH₃)O]₃Cr} проводили в среде органического растворителя с последующей отгонкой растворителя сначала при атмосферном давлении, а затем при пониженном давлении и температуре до 170°С, охлаждали до комнатной температуры и отбирали пробы синтезированного органометаллоксаналюмоксана на анализ (ИК спектроскопия, ТГА, СЭМ, элементный анализ) и для проведения пиролиза с целью получения керамических порошков.

ИК спектры исходных этилацетоацетатэтоксигидроксиалюмоксана и ацетилацетонатов тугоплавких металлов (Zr, Hf, Cr) регистрировали на приборе Nicolet iS50R в интервале 400–4000 см⁻¹ с помощью универсальной приставки однократного НПВО Smart iTR (кристалл – алмаз). ИК спектры синтезированных органометаллоксаналюмоксанов регистрировали на ИК-Фурье спектрометре Φ T-801 в интервале 500–4000 см⁻¹ с помощью универсальной приставки однократного НПВО (кристалл – алмаз). Содержание алюминия определяли трилонометрически. Содержание тугоплавкого металла (Zr, Hf и Cr) определяли рентгенофлуоресцентным методом на приборе СПЕКТРОСКАН MAKC-GVM. Содержание углерода и водорода определяли гравиметрическим методом - сожжением навески в токе кислорода на газоанализаторе Eurovector EA3000. Количество гидроксильных групп определяли газометрическим методом. Термогравиметрический анализ (ТГА) органометаллоксаналюмоксанов проводили на приборе TГА/SDTA 851 Mettler Toledo со скоростью нагрева 10 град/мин в атмосфере воздуха до 1100°C.

Изучение морфологии поверхности и элементного состава металлосодержащих органоалюмоксанов и образцов керамики на их основе осуществляли с использованием сканирующих электронных микроскопов FEI Quanta 250 и Philips SEM505, последний оснащен энергодисперсионным детектором SAPHIRE Si(Li) тип SEM10 и системой захвата изображения Micro Capture SEM3.0M. В связи с высокими диэлектрическими свойствами исследуемых образцов проводили их напыление золотом.

Пиролиз органометаллоксаналюмоксанов проводили в электропечи сопротивления СНОЛ 12/16 при 1300 или 1500°С в атмосфере воздуха. Рентгенофазовый анализ образцов керамики выполняли на вертикальном рентгеновском дифрактометре Shimadzu XRD-6000 при комнатной температуре в монохроматизированном медном излучении с длиной волны $\lambda_{K\alpha cp} = (2\lambda_{K\alpha 1} + \lambda_{K\alpha 2})/3 = 1.54178$ Å. Кристаллические фазы идентифицировали с помощью банка данных ICDD PDF-2 2003 г. Определение характеристических температур — размягчения (T_1) , волокнообразования (T_2) , расплава (T_3) проводили по методу [27], разработанному в Государственном научно-исследовательском институте химии и технологии элементоорганических соединений.

ФИНАНСОВАЯ ПОДДЕРЖКА

Работа выполнена при финансовой поддержке Государственного научно-исследовательского ин-

ститута химии и технологии элементоорганических соединений.

КОНФЛИКТ ИНТЕРЕСОВ

Авторы заявляют об отсутствии конфликта интересов.

ДОПОЛНИТЕЛЬНЫЕ МАТЕРИАЛЫ

Дополнительные материалы для этой статьи доступны по doi 10.31857/S0044460X23110148 для авторизованных пользователей.

СПИСОК ЛИТЕРАТУРЫ

- Krenkel W. Ceramic Matrix Composites. Wiley-VCH: Weinheim, 2008. P.440.
- Lee S-H., Lun F., Chung K. // Composites. 2017. Vol. 30.
 N 2. P. 94. doi 10.7234/composres.2017.30.2.094
- Schawaller D., Clauß B., Buchmeiser M.R. // Macromol. Mater. Eng. 2012. Vol. 297. N 6. P. 502. doi 10.1002/ mame.201100364
- 4. Стороженко П.А., Щербакова Г.И., Цирлин А.М. Муркина А.С., Варфоломеев М.С., Кузнецова М.Г., Полякова М.В., Трохаченкова О.П. // Неорг. матер. 2007. Т. 43. № 3. С. 373; Storozhenko P.A., Shcherbakova G.I., Tsirlin A.M., Murkina A.S., Varfolomeev M.S., Kuznetsova M.G., Polyakova M.V., Trokhachenkova O. P. // Inorg. Mater. 2007. Vol. 43. N 3. P. 320. doi 10.1134/s002016850703020x
- 5. Щербакова Г.И., Стороженко П.А., Жигалов Д.В. Варфоломеев М.С., Блохина М.Х., Кутинова Н.Б. // Изв. АН. Сер. хим. 2020. Т. 69. № 5. С. 875; Shcherbakova G.I., Storozhenko P.A., Zhigalov D.V., Varfolomeev M.S., Blokhina M.Kh., Kutinova N.B. // Russ. Chem. Bull. 2020. Vol. 69. № 5. P. 875. doi 10.1007/s11172-020-2844-1
- 6. Варфоломеев М.С., Моисеев В.С., Щербакова Г.И., Стороженко П.А., Шатунов В.В. // Неорг. матер. 2015. Т. 51. № 1. С. 86. doi 10.7868/ S0002337X15010200; Varfolomeev M.S., Moiseev V.S., Shcherbakova G.I., Storozhenko P.A., Shatunov V.V. // Inorg. Mater. 2015. Vol. 51. N 1. P. 76. doi 10.1134/ S0020168515010203.
- 7. Баранова Т.Ф., Валиахметов С.А., Гоголев Г.В., Шункина Н.И., Варфоломеев М.С., Щербакова Г.И., Вартанян Г.А. // Новые огнеупоры. 2016. № 8. С. 3; Baranova T.F., Valiakhmetov S.A., Gogolev G.V., Shunkina N.I., Varfolomeev M.S., Shcherbakova G.I., Vartanyan G.A. // Refractories and Industrial Ceramics. 2016. Vol. 57. N 4. P. 3. doi 10.1007/s11148-016-9981-y

ЖУРНАЛ ОБЩЕЙ ХИМИИ том 93 № 11 2023

- Han S.C., Yoon D.Y., Brun M.K. // Acta Metal. Mater. 1995. Vol. 43. N 3. P. 977. doi 10.1016/0956-7151(94)00306-3
- 9. *Parya T.K, Banerjee S., Sana M.B.* // J. Indian Chem. Soc. 2012. Vol. 89. N 4. P. 533.
- Singh B.K., Mondal B., Mandal N. // Ceram. Int. 2016. Vol. 42. N 2. P. 3338. doi 10.1016/j. ceramint.2015.10.128
- 11. *Manor E.* // Nanostruct. Mater. 1997. Vol. 8. N 3. P. 359. doi 10.1016/s0965-9773(97)00176-1
- Drdlikova K., Klement R., Drdlik D., Galusek D., Maca K. // J. Eur. Ceram. Soc. 2020. Vol. 40. N 7. P. 2573. doi 10.1016/j.jeurceramsoc.2019.11.010
- 13. Губина Н.В., Маркарян А.А., Колоколов Д.С., Бобрышева Н.П., Осмоловский М.Г., Осмоловская О.М. // ЖОХ 2021. Т. 91. № 10. С. 1637. doi 10.31857/ S0044460X2110022X; Gubina N.V., Markarian А.А., Kolokolov D.S., Bobrysheva N.P., Osmolowsky M.G., Osmolovskaya O.M. // Russ. J. Gen. Chem. 2021. Vol. 91. N 10. P. 2118. doi 10.1134/S1070363221100224
- Yang X., Shao C., Liu Y. // J. Mater. Sci. 2007. Vol. 42.
 N 20. P. 8470. doi 10.1007/s10853-007-1769-5
- 15. Pfeifer S., Demirci P., Duran R., Stolpmann H., Renfftlen A., Nemrava S., Niewa S., Clauβ B., Buchmeiser M.R. // J. Eur. Ceram. Soc. 2016. Vol. 36. N 3. P. 725. doi 10.1016/j.jeurceramsoc.2015.10.028
- Poulon-Quintin A., Berger M.H., Bunsell A.R. // J. Eur. Ceram. Soc. 2004. Vol. 24. N 9. P. 2769. doi 10.1016/j. jeurceramsoc.2003.08.011
- 17. *Морозова Л.В.* // Неорг. матер. 2019. Т. 55. № 3. С. 322. doi 10.1134/S0002337X19030138
- Zhou J., Cao W., Zhang Y., Omran M., Chen G., Gao L., Zhang F., Tang J. // J. Mater. Res. Technol. 2023.
 Vol. 24. N 7. P. 6762. doi 10.1016/j.jmrt.2023.04.229
- Khalid M.W., Kim Y.I., Haq M.A., Lee D., Kim B.S., Lee B. // Ceram. Intern. 2020. Vol. 46. N 7. P. 9002. doi 10.1016/j.ceramint.2019.12.147

- Li J., Li X., Xia X. // Mater. Chem. Phys. 2021. Vol. 276.
 P. 125330. doi 10.1016/j.matchemphys.2021.125330
- Lakiza S.M., Tishchenko Y.S., Red'ko V.P., Lopato L.M. //
 Powder Metalurgy and Metal Ceramics. 2009. Vol. 48.
 N 3–4. P. 225. doi 10.1007/s11106-009-9106-y
- 22. Щербакова Г.И., Шаухин М.К., Кирилин А.Д., Стороженко П.А., Похоренко А.С. // ЖОХ 2021. Т. 91. № 2. С. 283. doi 10.31857/S0044460X21020128; Shcherbakova G.I., Shaukhin M.K., Kirilin A.D., Storozhenko P.A., Pokhorenko A.S. // Russ. J. Gen. Chem. 2021. Vol. 91. N 2. P. 235. doi 10.1134/S1070363221020122
- 23. Щербакова Г.И., Шаухин М.К., Кирилин А.Д., Стороженко П.А. // Изв. АН. Сер. хим. 2021. Т. 70. № 7. С. 1275; Shcherbakova G.I., Shaukhin M.K., Kirilin A.D., Storozhenko P.A. // Russ. Chem. Bull. 2021. Vol. 70. № 7. Р. 1275. doi 10.1007/s11172-021-3211-6
- 24. Atkins P.W., Friedman R.S. Molecular quantum mechanics. New York: Oxford University Press Inc., 2005, p. 288.
- Fahlman B.D., Bott S.G., Barron A.R. // Chem. Crystallogr. 2000. Vol. 30. N 1. P. 65. doi 10.1023/A:1009554301560
- Zhang B., Sun F., Zhou Q.L., Liao D.M., Wang N., Xue L.H., Li H.P., Yan Y.W. // Fusion Eng. Des. 2017.
 Vol. 125. P. 577. doi 10.1016/j.fusengdes.2017.05.028
- 27. Щербакова Г.И., Апухтина Т.Л., Кривцова Н.С., Варфоломеев М.С., Сидоров Д.В., Стороженко П.А. // Неорг. матер. 2015. Т. 51. № 3. С. 253. doi 10.7868/ S0002337X15030148; Shcherbakova G.I., Apukhtina T.L., Krivtsova N.S., Varfolomeev M.S., Sidorov D.V., Storozhenko P.A. // Inorg. Mater. 2015. Vol. 51. № 3. P. 206. doi 10.1134/S0020168515030140

Synthesis, Properties, and Pyrolysis of Organoalumoxanes Modified with Refractory Metals

G. I. Shcherbakova^{a,*}, A. S. Pokhorenko^a, N. S. Krivtsova^a, M. S. Varfolomeev^b, T. L. Apukhtina^a, A. I. Drachev^a, A. A. Ashmarin^c, and P. A. Storozhenko^a

^a State Research Institute for Chemistry and Technology of Organoelement Compounds, Moscow, 105118 Russia
 ^b Moscow Aviation Institute (National Research University), Moscow, 125080 Russia
 ^c A.A. Baikov Institute of Metallurgy and Materials Science, Moscow, 119334 Russia
 *e-mail: galina7479@mail.ru

Received October 10, 2023; revised October 20, 2023; accepted October 20, 2023

Organoalumoxane oligomers modified with refractory metals (zirconium, hafnium or chromium) were synthesized. Their physico-chemical and fiber-forming properties were studied. Models of the group and elemental composition of oligomeric molecules of organoalumoxanes containing zirconium, hafnium or chromium were proposed. Based on the results of X-ray elemental microanalysis (SEM) and X-ray diffraction, it was found that pyrolysis of metal-containing organoalumoxanes at 1500°C in air results in the microcrystalline ceramic powders of corundum composition, modified with refractory metal oxides.

Keywords: organoalumoxanes, zirconium acetylacetonates, hafnium and chromium acetylacetonates, ceramicand fiber-forming metal-containing organoalumoxanes, microcrystalline ceramic powders